

图 1

样品脱离。然后把样品用水溶性的聚乙烯胶(P. V. A.)贴在离子轰击减薄装置中的样品架上。样品室真空度为 10^{-5} 托，随后往离子枪中充入气压小于 0.1 公斤/厘米²的高纯氩气。在 6000 伏高压下进行离子减薄，氩离子束以 20°掠角从白宝石一侧轰击（关掉一个离子枪的高压和氩气）。样品处的相对束流值约为 80 微安。在减薄的最后阶段，电压减到 4000 伏。当样品刚刚穿孔时，对样品双侧进行离子减薄^[4]，10 分钟后结束离子减薄。在整个减薄过程中，



图 2 为 NbGe 薄膜透射电镜的显微像及衍射像，显示出 A15 相的 Nb₃Ge 晶粒及视场中央一个晶粒对应的选区电子衍射像

样品架以 12 转/分的速度转动。穿孔后的样品从样品架上剥离后，用电镜专用的双绞连铜网夹住，以便进行透射电镜的观察。

本工作得到李林教授的指导，特此致谢。

参 考 文 献

- [1] A. G. Cullis, *Phil. Mag.*, **36** (1977), 1035.
- [2] A. T. Santhanam et al., *J. Mat. Sci.*, **12** (1977), 1161.
- [3] 李 林等,物理, **6**(1981), 364.
- [4] 陈希成等,物理, **8**(1979), 232.

程序调整高压长脉冲电源

粟 达 人 高 心 海

(中国科学院物理研究所)

在受控热核反应研究中，需要一种电压为 20—60kV，脉冲长度为 10—100ms，一定电流为 10—100A，脉冲顶降 $\Delta V/V$ 为 0.5—0.1% 的电源。它作为离子源和回旋管(grotron)的高压电源，对等离子体进行二次加热。一般采用传统的电容储能，RC 放电可以获得单次脉冲供电，但是脉冲顶降按指数形式衰减，不平顶。国外近几年发展了调整管技术^[1,2]，即在主放电回路中串接一个电子管作电

压调节器，利用反馈调节栅极电压，使负载电阻上获得高精度脉冲顶降。

我们工作的基本想法是：主回路串入大功率发射管(FU-104，或 4025)，在它的栅极回路输入程序控制讯号，通过对栅极电压的调节，以使串联管完成开关和电压调节两种功能。

图 1 是该实验装置原理图。采用高压隔离变压器供电。高低压之间控制，采用光电传输讯号以保证安全。

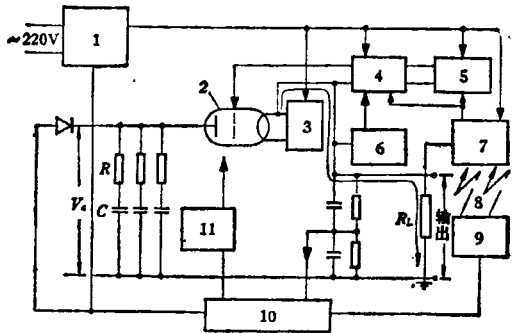


图 1 实验装置原理图

1. 高压隔离供电电源；2. 串联调整管；3. 灯丝电源；
4. 控制器；5. 棚极程控波形发生器；6. 截止负栅压
电源；7. 光电转换装置；8. 光通道；9. 光控讯号发
生器；10. 控制与监测；11. 冷却系统

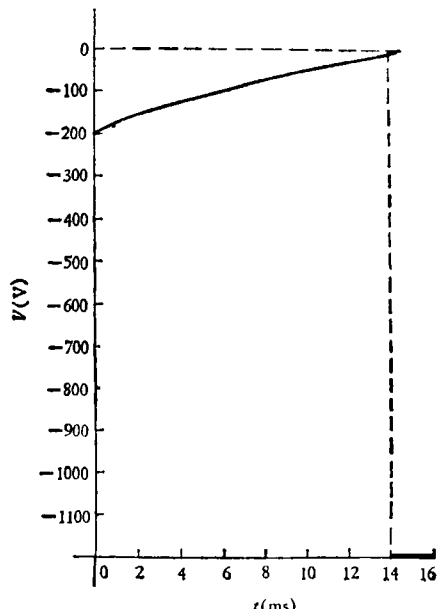


图 2

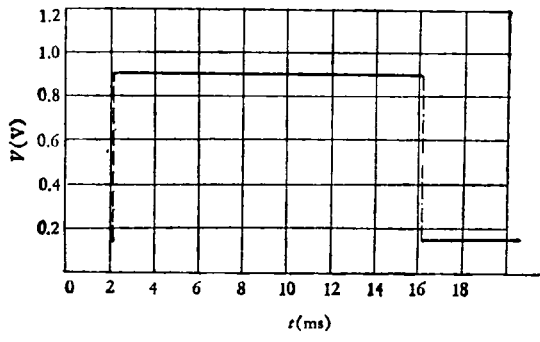


图 3

$$C = 30\mu F; V_C = 35kV; V_{\text{断开}} = 32kV;$$

$$R_L = 2k\Omega; R_{\text{测}} = 0.1\Omega$$

运行开始, 光电转换器驱动控制器, 切断截止负栅压; 同时棚极控制波形发生器按预定程序输出程序控制棚极波形, 如图 2 所示, 控制棚极电压随时间的变化, 实现对串联调整管阳极电压的调整。在调整中, 使电阻性负载 R_L 上获得如图 3 所示的波形。棚极脉冲结束时, 重新加上截止负栅压, 使串联调整管实现关断功能。

经过多次实验, 在负载 R_L 上获得了 10—25ms 可调的脉冲平顶时间, 电压幅值在 20—32kV 范围内可调, 电流为 10—15A, 脉冲顶降调节到最佳程度时, 可小于 0.5%。

参 考 文 献

- [1] G. A. Leavitt, Proc. 7th Symposium on Engineering Problems of Fusion Research, New York, (1977), 1093.
- [2] G. Gorden North, ibid., 1096.

(上接 541 页)

空位的存在, 相当于出现了额外的阳离子, 为了保持电价平衡, 低价的 Sr^{2+} 离子能够长入晶体而高价的 Th^{4+} 离子则不能, 尽管 Sr^{2+} , Th^{4+} 和 La^{3+} 三者的离子半径相近。

参 考 文 献

- [1] M. Kimura et al., Japan. J. Appl. Phys., 11,

- (1972), 904.
- [2] N. A. Zakharov et al., Phys Status Solidi (a), 50, (1978), K 13.
- [3] C. С. Малхасян и др., Кристаллография, 24, (1979), 518.
- [4] S. Nanamatsu et al., Ferroelectrics 8, (1974), 511.
- [5] 中国科学院物理研究所钇铝石榴石研究小组, 物理, 3-3 (1974), 134.
- [6] 同上。
- [7] M. Kimura et al., Japan. Electronic Engineering, January, (1973), 33.